

УДК 544.47:544.344

## Гетерогенно-катализитическое получение азотсодержащих углеродных макротрубок из ацетонитрила с использованием наночастиц железа

**Н. В. Лемеш, И. Б. Бычко, Е. Ю. Калишин, П. Е. Стрижак**

Институт физической химии им. Л. В. Писаржевского НАН Украины  
просп. Науки, 31, Киев 03028, Украина. E-mail: lemeshnataliia@gmail.com

*Впервые показана возможность получения азотсодержащих многостенных углеродных макротрубок со средним внешним диаметром 220 нм. Макротрубки характеризуются бамбукоподобной морфологией и формируются на агрегированных частицах железа.*

**Ключевые слова:** азотсодержащие углеродные макротрубки, наночастицы железа, агломерированные частицы.

Интенсивное исследование углеродных наноструктур началось с открытия в 1991 г. фуллеренов [1] и продолжается уже 25 лет. Множество работ посвящено исследованию структуры и свойств фуллеренов, графена, нановолокон, а также углеродных нанотрубок различных типов. Среди многообразия таких структур выделяют азотсодержащие многостенные углеродные нанотрубки (N-МУНТ), свойства которых отличаются от физико-химических свойств углеродных нанотрубок, не содержащих гетероатомов в структуре. Благодаря этим свойствам возможно потенциальное применение N-МУНТ в полевой эмиссии, в составе датчиков, носителей катализаторов и в фотонике [2]. Допиривание многостенных углеродных нанотрубок (МУНТ) различными элементами, в том числе азотом, приводит к образованию дополнительных уровней возле уровня Ферми, что делает N-МУНТ перспективным материалом для использования в качестве эмиттеров электронов. Модифицирование поверхности нанотрубок приводит к локализованным электронным состояниям и повышению их химической активности. Количество активных центров на поверхности N-МУНТ превышает количество активных центров МУНТ, что улучшает их катализитические свойства и делает их перспективными для применения как носителей, так и самих катализаторов в окисительно-восстановительных процессах и реакциях разложения [3, 4].

Одним из наиболее распространенных прекурсоров получения N-МУНТ является ацетонитрил [5, 6]. В качестве катализаторов синтеза из ацетонитрила азотсодержащих N-МУНТ используют катализаторы

на основе таких металлов, как Fe, Co и Ni, нанесенных на различные носители ( $MgO$ ,  $SiO_2$ ,  $Al_2O_3$  и т. п.) [5, 7]. Использование таких катализаторов приводит к формированию наночастиц металлов с размерами ~30—60 нм, на которых и образуются N-МУНТ соответствующих диаметров. Однако в литературе отсутствуют сведения о получении углеродных трубок с диаметрами более 150 нм, т. е. азотсодержащих макротрубок (N-МУМТ). Углеродные трубы такого диаметра являются перспективными не только для гетерогенно-катализитических процессов, но и для других областей науки и техники, в частности для применения в качестве анодов в литий-ионных батареях [8].

Настоящая работа посвящена получению высокочистых N-МУМТ диаметром больше 150 нм гетерогенно-катализитическим методом, а также исследованию их морфологии. Синтез N-МУМТ проводили путем разложения ацетонитрила на наночастицах железа. Морфология макротрубок и наночастиц железа была исследована методами ПЭМ и СЭМ.

Синтез железосодержащих наночастиц проводили согласно методике [9—11].

Готовили раствор следующего состава: к 10 мл дibenзилового эфира добавляли 0,5 ммоль ацетил-ацетоната железа(III) ( $Fe(acac)_3$ ), 2,5 ммоль 1,2-гексадекандиола, 1,5 ммоль олеиновой кислоты и 1,5 ммоль олеиламина. Затем в инертной атмосфере аргона при непрерывном перемешивании температуру реакционной смеси повышали до температуры кипения (289 °C) и выдерживали в течение 2 ч, после чего смесь охлаждали до комнатной температуры.

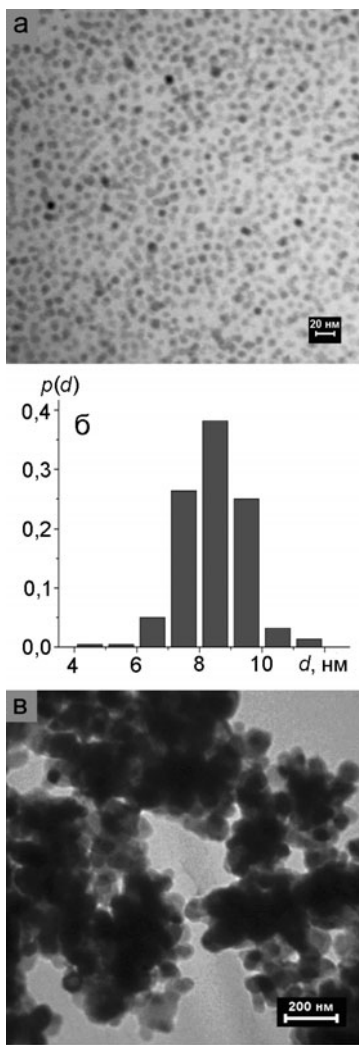


Рис. 1. ПЭМ-изображение наночастиц Fe (а) и распределение их по размерам (б), ПЭМ-изображение агломерированных частиц железа при температуре 900 °С (в).

Для выделения наночастиц в раствор добавляли избыток этилового спирта, после чего полученную смесь центрифугировали и декантировали. Для образования коллоидного раствора наночастиц к выделенному после центрифугирования осадку добавляли 20 мл гексана. Процедуру очистки повторяли 2—3 раза.

На полученных наночастицах выполняли синтез азотсодержащих многостенных углеродных макротрубок (N-МУМТ). Несколько капель коллоидного раствора наночастиц железа наносили на кварцевую подложку и высушивали при 120 °С в течение 1 ч. После этого кварцевую подложку помещали в трубчатый кварцевый реактор, который нагревали в газовой смеси водорода и аргона (35 % об. H<sub>2</sub>; 65 % об. Ar) со скоростью 5 °С/мин до температуры синтеза 900 °С. При этом происходило восстанов-

ление оксидной пленки на поверхности наночастиц железа. При достижении заданной температуры перекрывали поток водорода, а в поток аргона добавляли ацетонитрил («Merck», 99,5 %) в количестве 1,2 % об. Синтез макротрубок проводили на протяжении 1 ч. По окончании синтеза прекращали подачу ацетонитрила и охлаждали реактор в потоке аргона. В результате на частицах железа был получен тонкий слой углеродного материала.

Наночастицы железа и N-МУМТ, полученные в процессе синтеза, проанализированы методами просвечивающей электронной микроскопии (ПЭМ) с использованием микроскопа ПЭМ-125К, сканирующей электронной микроскопии (СЭМ) на приборе «Hitachi S-4700», а также рентгеновской фотэлектронной спектроскопии (РФЭС) с использованием системы PHI 5600 CI («Perkin-Elmer»). Размеры наночастиц металла, распределения по диаметрам N-МУМТ, толщину стенок и перегородок внутри макротрубок рассчитывали из ПЭМ- и СЭМ-микрофотографий. Для расчетов распределений измерено 600 наночастиц и 400 макротрубок.

На рис. 1, а приведена ПЭМ-микрофотография наночастиц железа, полученных из ацетилацетоната железа(III) (Fe(acac)<sub>3</sub>). Наночастицы достаточно однородны по размерам и форме, которая приближается к сферической. Из данных гистограммы, приведенной на рис. 1, б, следует, что в образце преобладают частицы размером 7—10 нм, а размер наименьших наночастиц составляет 4 нм. Синтезированные наночастицы характеризуются узким распределением по размерам. Величины среднего размера  $\langle r \rangle$ , а также среднеквадратического отклонения по размерам  $\sigma$  равны 9 и 1 нм соответственно. На рис. 1, в представлена ПЭМ-микрофотография частиц железа, обработанных при температуре 900 °С в восстановительной среде. Анализ микрофотографии показывает, что частицы агломерированные. Средний размер агломератов составляет приблизительно 200 нм.

На рис. 2 приведены СЭМ- и ПЭМ-изображения N-МУМТ, полученных на наночастицах железа, а также гистограмма их распределения по внешним диаметрам. На основании анализа СЭМ-микрофотографии, приведенной на рис. 2, а, можно сделать вывод, что полученные макротрубки ориентированы в одном направлении и образуют массив, в котором не были обнаружены примеси аморфного углерода. Чистота полученного материала подтверждается данными, приведенными на рис. 2, б. Анализ этих данных показывает, что все макротрубки являются открытыми и на их концах отсутствуют наночастицы железа, что служит подтверждением их роста по «основному» механизму [12]. Более детально структуру полученного материала можно проанали-

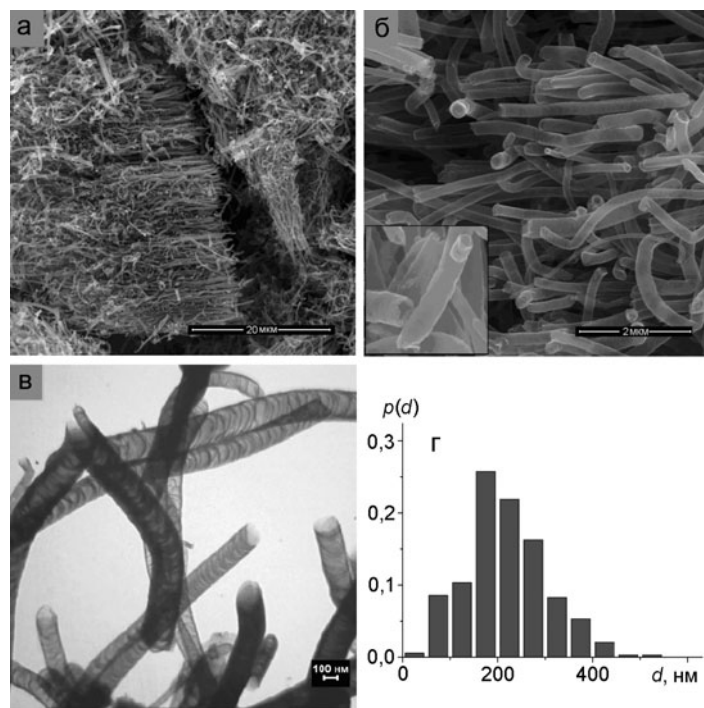


Рис. 2. СЭМ- (а, б) и ПЭМ-изображения N-МУМТ (в) и их распределение по внешним диаметрам (г).

зировать, опираясь на данные ПЭМ-изображения, приведенного на рис. 2, в. Анализ этого изображения позволяет сделать вывод о том, что синтезированные макротрубки имеют бамбукоподобную структуру. Внешние диаметры таких макротрубок находятся в диапазоне  $<550$  нм, наиболее вероятным является образование N-МУМТ с диаметрами 150—250 нм (рис. 2, г). Установлено, что бамбукоподобная морфология характерна для всех азотсодержащих углеродных нанотрубок [6]. Наличие гетероатомов азота в структуре полученных нами макротрубок подтверждено методом РФЭС. Азот в них преимущественно находится в структурах пиррола и его концентрация составляет 2 %.

В таблице приведены параметры морфологии N-МУМТ, синтезированных на наночастицах железа. Анализ данных, приведенных в таблице, позволяет сделать вывод о том, что средний внешний диаметр N-МУМТ равен 220 нм. Установлено, что среднее значение толщины каждой стенки в N-МУМТ равняется 20 нм и, соответственно, суммарная средняя толщина двух стенок в каждой макротрубке — 40 нм. Количество слоев в одной стенке, которое было определено как отношение среднего значения ее толщины  $\langle p_c \rangle$  к расстоянию между графеновыми слоями в графите (0,34) [13], равняется ~60. Средний внутренний диаметр N-МУМТ составляет приблизительно 180 нм. Таким образом, синтезированные азотсодержащие макротрубки характеризуются очень

большими значениями внутренних и внешних диаметров, и при этом внутренний диаметр полученных макротрубок значительно превышает толщину стенок. Из данных, приведенных в таблице, также следует, что расстояние между графеновыми перегородками во внутреннем канале трубы составляет более 50 нм. Количество графеновых слоев в перегородках, которое, соответственно, было рассчитано как отношение среднего значения толщины графеновой перегородки  $\langle p_n \rangle$  к расстоянию между графеновыми слоями в графите (0,34) [13], составляет ~35, что приблизительно в 2 раза меньше, чем количество графеновых слоев в стенках таких макротрубок.

В литературе утверждается, что на наночастицах металла размером больше 100 нм образуется только аморфный углерод, а образование УНТ не наблюдается [14]. Частицы, размер которых превышает 100 нм, по мнению авторов работы [15], являются малоактивными за счет большого пути диффузии углерода, в результате чего поверхность таких частиц дезактивируется углеродными отложениями. В настоящей работе образование азотсодержащих макротрубок с внешним диаметром порядка 220 нм на катализаторе, прекурсором которого являются наночастицы железа со средним размером 9 нм, по-видимому, обусловлено тем, что наночастицы Fe агрегируют при температуре синтеза (900 °C). При этом, в отличие от данных, приведенных в литературе, не наблюдается формирования аморфного

**Структурные параметры N-МУМТ**

Параметр	Значение
$\langle d_{\text{внеш}} \rangle \pm \sigma, \text{ нм}$	$220 \pm 90$
$\langle d_{\text{внут}} \rangle \pm \sigma, \text{ нм}$	$180 \pm 40$
$\langle p_c \rangle \pm \sigma, \text{ нм}$	$20 \pm 6$
$N$	$\sim 60$
$\langle l \rangle \pm \sigma, \text{ нм}$	$52 \pm 20$
$\langle p_n \rangle \pm \sigma, \text{ нм}$	$12 \pm 5$
$n$	$\sim 35$

*Примечание.*  $\langle d_{\text{внеш}} \rangle$  — средний внешний диаметр;  $\langle d_{\text{внут}} \rangle$  — средний внутренний диаметр;  $\langle l \rangle$  — среднее расстояние в пустотах между графеновыми перегородками;  $\langle p_c \rangle$  — средняя толщина стенки;  $\langle p_n \rangle$  — средняя толщина графеновых перегородок во внутреннем канале;  $\sigma$  — среднеквадратическое отклонение;  $N$  — количество слоев в стенках;  $n$  — количество слоев в перегородках.

углерода, а вместо этого образуются N-МУМТ, внешний диаметр которых порядка 220 нм, а их чистота приближается к 100 %.

Этому было предложено следующее объяснение. Как уже отмечалось, полученные N-МУМТ, вероятнее всего, растут по «основному» механизму. Согласно такому механизму образуются нанотрубки на наночастицах размером около 5–10 нм [16]. При этом диффузия атомов углерода происходит по поверхности наночастицы металла с образованием графенового колпака, при росте нанотрубки отделяющегося от наночастицы металла, которая остается на носителе. На более крупных наночастицах металла должен реализовываться «концевой» механизм роста нанотрубок с диффузией атомов через кристаллическую решетку наночастицы. При этом наночастица металла отрывается от носителя и ее можно наблюдать на концах УНТ с помощью просвечивающего микроскопа. Исходя из этого, можно предположить, что образованные при температуре 900 °С частицы железа размером около 200 нм (рис. 1, б) являются агломератами первоначальных наночастиц, размеры которых составляют ~10 нм. Предположительно, диффузия углерода реализуется именно по поверхности отдельных «маленьких» агломерированных наночастиц, из которых образована «большая» частица. При этом происходит рост N-МУНТ, диаметр которой равняется размеру «большой» частицы (~200 нм). Следует отметить, что при разложении ацетонитрила на различных ка-

тилизаторах в основном образуются N-МУНТ с диаметрами в диапазоне 20–50 нм, и только в некоторых случаях отмечен рост нановолокон с диаметрами около 100 нм [7, 17–19].

Таким образом, в настоящей работе показана возможность получения азотсодержащих многостенных углеродных макротрубок бамбукоподобной морфологии со средним внешним диаметром 220 нм, чистота которых приближается к 100 %. Их формирование происходит на агрегированных частицах железа. Такие макротрубки могут найти применение в различных областях химической промышленности, а именно как составляющие катализаторов и в качестве анодов в литий-ионных батареях.

**Литература**

1. Iijima S. // Nature. — 1991. — **354**. — P. 56–57.
2. Xie R. H. // Chem. Phys. Lett. — 1999. — **310**, N 3/4. — P. 379–384.
3. Jiang K., Schadler L. S., Siegel R. W. et al. // J. Mater. Chem. — 2004. — **14**. — P. 37–39.
4. McEuen P. L., Bockrath M., Cobden D. H. et al. // Phys. Rev. Lett. — 1999. — **83**. — P. 5098–5101.
5. Faba L., Criado Y. A., Gallegos-Suarez E. et al. // Appl. Catal. A. — 2013. — **458**. — P. 155–161.
6. Kundu S., Nagaiah T. C., Xia W. et al. // J. Phys. Chem. C. — 2009. — **113**. — P. 14302–14310.
7. Ewels C. P., Glerup M. // J. Nanosci. and Nanotechnol. — 2005. — **5**. — P. 1345–1363.
8. Huang X., Zhang R., Zhang X. et al. // Scripta Mater. — 2012. — **67**, N 12. — P. 987–990.
9. Pinkas J., Reichlova V., Zboril R. et al. // Ultrason. Sonochem. — 2008. — **15**, N 3. — P. 257–264.
10. Sun S., Zeng H. // J. Amer. Chem. Soc. — 2002. — **124**, N 28. — P. 8204–8205.
11. Yamamoto S., Ando T., Sumiyama K. // Jap. J. Appl. Phys. — 2004. — **43**, N 7. — P. 4458–4459.
12. Baker R. T. K. // Carbon. — 1989. — **27**. — P. 315–323.
13. Zhao X., Ando Y., Qin L.-C. et al. // Chem. Phys. Lett. — 2002. — **361**, N 1/2. — P. 169–174.
14. Amelinckx S., Zhang X. B., Bernaerts D. et al. // Science. — 1994. — **265**. — P. 635–639.
15. Фенелонов Б. В. Введение в физическую химию формирования супрамолекулярной структуры адсорбентов и катализаторов. — Новосибирск : Изд-во СО РАН, 2004.
16. Gohier A., Ewels C. P., Minea T. M. et al. // Carbon. — 2008. — **46**. — P. 1331–1338.
17. Modia A., Singh S., Verma N. // Electrochim. acta. — 2016. — **190**. — P. 620–627.
18. Kim J., Jang J.-S., Peck D.-H. et al. // J. Electroanal. Chem. — 2016. — In press.
19. Bulusheva L. G., Okotrub A. V., Kudashov A. G. et al. // Carbon. — 2008. — **46**. — P. 864–869.

Поступила в редакцию 27 мая 2016 г.

В окончательном варианте 3 июня 2016 г.

## Гетерогенно-катаалітичне одержання азотвмісних вуглецевих макротрубок з ацетонітрилу з використанням наночастинок заліза

**Н. В. Лемеш, І. Б. Бичко, Е. Ю. Калишин, П. Е. Стрижак**

Інститут фізичної хімії ім. Л. В. Писаржевського НАН України  
просп. Науки, 31, Київ 03028, Україна. E-mail: lemeshnataliia@gmail.com

*Вперше показано можливість одержання азотвмісних багатостінних вуглецевих макротрубок із середнім зовнішнім діаметром 220 нм. Макротрубки характеризуються бамбукоподібною морфологією і формуються на агрегованих частинках заліза.*

**Ключові слова:** азотвмісні вуглецеві макротрубки, наночастинки заліза, агломеровані частинки.

## Catalytic CVD Method for Obtaining Nitrogen-Doped Carbon Macrotubes from Acetonitrile by using Iron Nanoparticles

**N. V. Lemesh, I. B. Bychko, E. Y. Kalishin, P. E. Strizhak**

L. V. Pysarzhevsky Institute of Physical Chemistry, National Academy of Sciences of Ukraine  
Prosp. Nauky, 31, Kyiv 03028, Ukraine. E-mail: lemeshnataliia@gmail.com

*The possibility of obtaining nitrogen-doped multi-walled carbon macrotubes with an average outer diameter of 220 nm is shown for the first time. The macrotubes are characterized by bamboo-like morphology and are formed on the aggregated particles of iron.*

**Key words:** nitrogen-doped carbon macrotubes, iron nanoparticles, agglomerated particles.